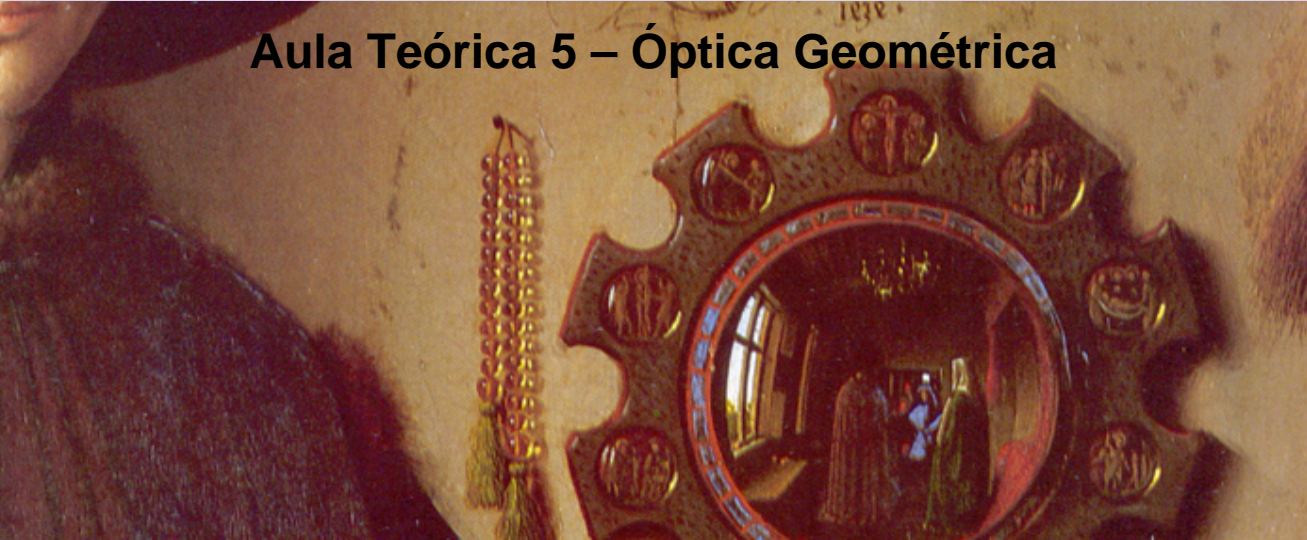


Curso de Óptica Aplicada

Aula Teórica 5 – Óptica Geométrica



Aula Teórica 5 – Óptica Geométrica

- Sistema astigmático
- Espelhos
- O dióptro esférico
- Lentes e instrumentos
- Fibras ópticas

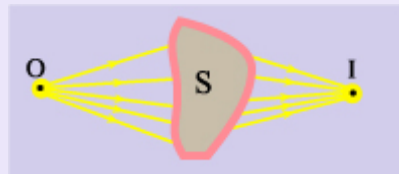
Sistema astigmático

A óptica geométrica é válida para valores de λ pequenos comparados com as dimensões dos sistemas (fendas, orifícios lentes e lâminas...)

... fonte pontual, na perspectiva ondulatória, emite uma onda esférica... do ponto de vista da propagação por raios, estes divergem radialmente

Os pontos de convergência ou divergência de raios luminosos são pontos focais do sistema S, que é astigmático para os pontos O e I se:

- energia emitida de O para S converge em I
- I é a imagem perfeita ou quase perfeita de O
- vemos a imagem real de O em I, se em I for colocado um écran (difusor branco)
- em I incidem convergindo raios que divergiam de O



... de I divergem agora raios, alguns dos quais são colectados pelo observador

Espelhos

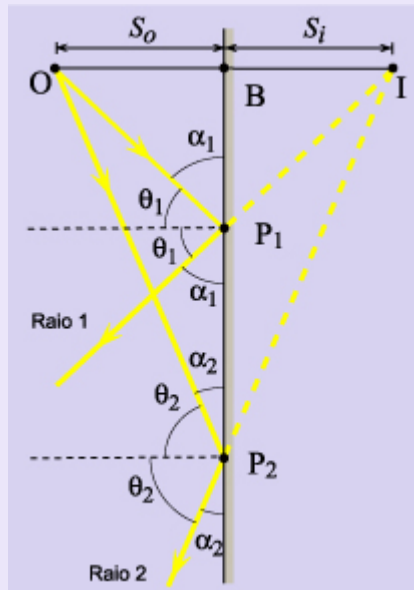
Espelho plano

Um ponto objecto O emite raios para o espelho plano. Tomando de OP_1 e OP_2 os raios reflectidos... os seus prolongamentos convergem em I ...

De facto os triângulos rectângulos OBP_1 e BIP_1 , são iguais, pois têm um lado e dois ângulos iguais, donde:

$$S_o = S_i$$

... também os triângulos rectângulos OBP_2 e BIP_2 , são iguais, donde também $s_o = s_i$

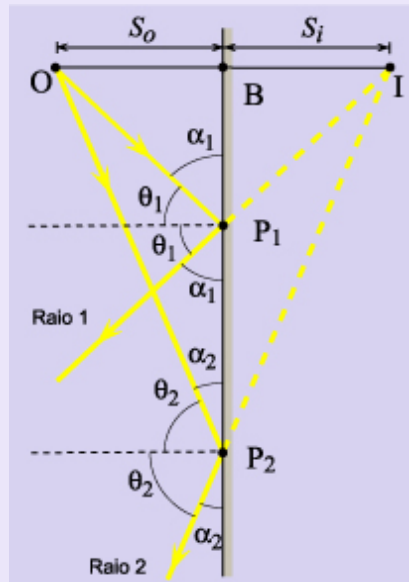


AT5 – Óptica Geométrica

A imagem dada pelo espelho plano situa-se do lado oposto do espelho, a uma distância igual à do objecto ao espelho

- ... obtida, não pelo cruzamento dos raios, mas
- ... dos seus prolongamentos, (raios virtuais)
- ... a imagem é virtual
- ... I é um emissor virtual

O espelho plano não induz convergência real...

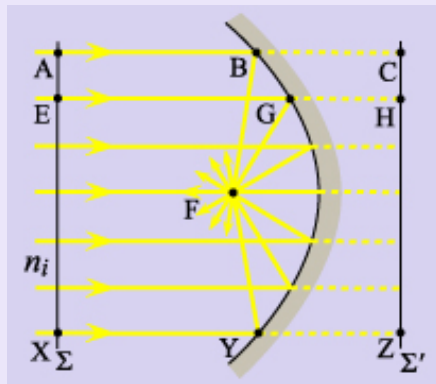


Espelho parabólico

Procuramos a superfície espelhada que devemos interpor a um feixe de raios paralelos e os transforma em raios convergentes num ponto F , o foco.

Pelo princípio de Fermat os diferentes raios que divergindo dum ponto (neste caso o infinito) e são feitos convergir num outro ponto, levam todos o mesmo tempo e têm todos o mesmo percurso óptico.

Desde infinito até A, E, \dots e X , os raios levam o mesmo tempo, tal como levam o mesmo tempo nos trajectos de A a C , de E a H e de X a Z .



AT₅ – Óptica Geométrica

Se marcarmos sobre AC um ponto B tal que $BC=BF$

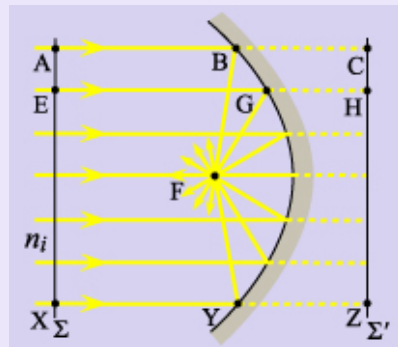
Se marcarmos sobre EH um ponto G tal que $GH=GF$

...e assim sucessivamente

A curva gerada pelos pontos da família de B, G e Y é o lugar geométrico dos pontos equidistantes de F e da recta que contém C, H e Z. Assim B, G e Y estão sobre uma parábola.

Como: $(AB + BC) = (EG + GH) = (XY + YZ) =$

$$(AB + BF) = (EG + GF) = (XY + YF)$$



Todos os raios paralelos que chegam à recta de CHZ levariam o mesmo tempo, também igual ao dos raios ABF, EGF e XYF, obedecendo ao princípio de Fermat. Assim F é o foco da parábola.

Espelho parabólico

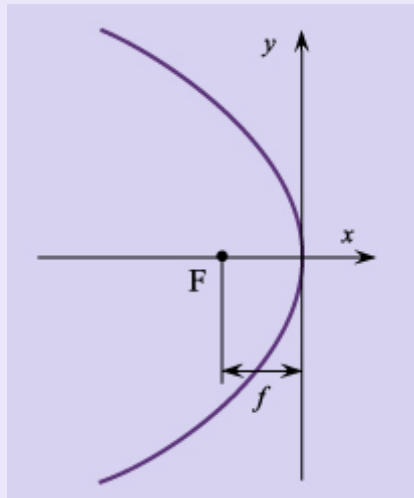
A curva gerada pelos pontos B, G,... Y e semelhantes

... é o lugar geométrico dos pontos equidistantes do ponto F e da recta dos C, H,... Z ,....que por definição

... é uma parábola de foco em F e de equação:

$$y^2 = 4 \cdot f \cdot x$$

A parábola é perfeitamente focalizadora, o que não acontece ao espelho esférico que só é focalizador na aproximação paraxial



Espelho esférico (côncavos e convexos)

... no espelho esférico de centro de curvatura em C, um objecto O sobre o eixo óptico tem imagem em I

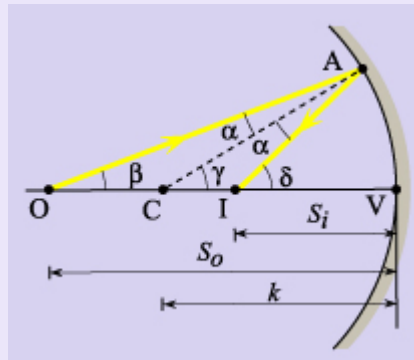
Pela figura verificam-se as relações entre os ângulos e

$$\delta = \gamma + \alpha = \gamma + (\gamma - \beta) = 2 \cdot \gamma - \beta$$

... ângulos pequenos (aproximação paraxial) podemos tomar arcos por segmentos e por definição de ângulo vem:

Substituindo vem:

$$\gamma = \frac{AV}{R}, \quad \beta = \frac{AV}{s_o} \quad e \quad \delta = \frac{AV}{s_i}$$



Construção de imagens em espelhos esféricos

Objecto no infinito produz imagem sobre o foco...

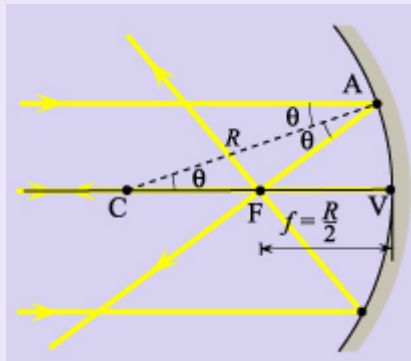
dada a reversibilidade dos trajectos luminosos,...

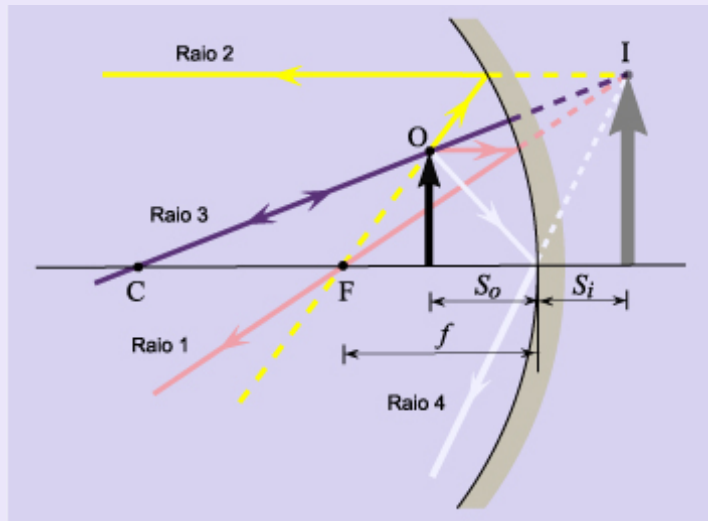
objecto no foco dá imagem no infinito

... raios que passam pelo centro de curvatura, são reflectidos sobre si próprios...

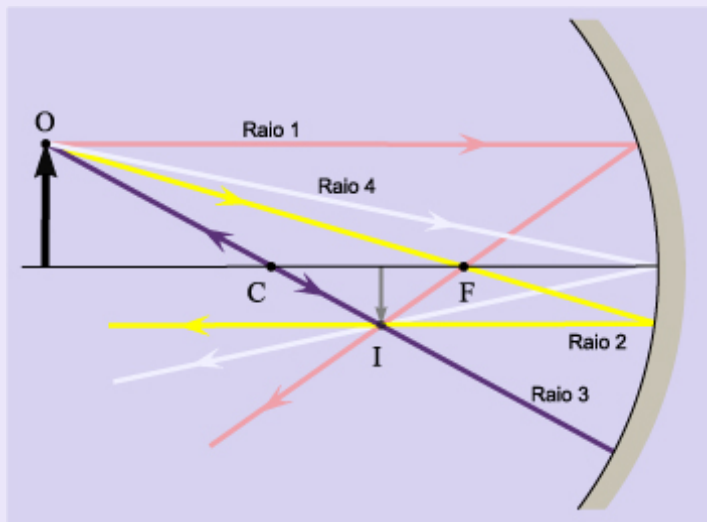
$$\lim_{s_o \rightarrow \infty} s_i = f = \frac{R}{2}$$

$$\frac{1}{s_i} + \frac{1}{s_o} = \frac{1}{f}$$



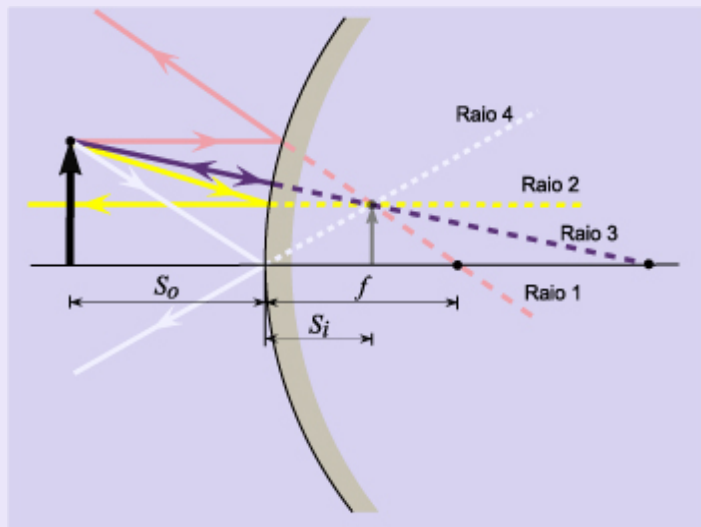


Virtual direita maior



Real invertida menor

$$\frac{1}{s_i} + \frac{1}{s_o} = \frac{1}{f}$$



Virtual direita menor

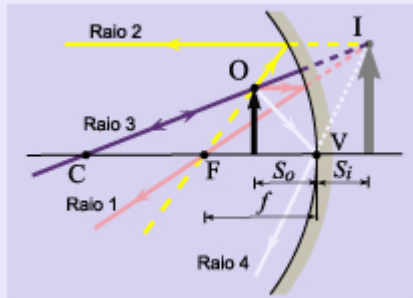
Ampliação

OV e IV fazem o mesmo ângulo com o eixo óptico
assim, os triângulos de O e I com V são semelhantes

M é negativo para imagens invertidas e positivo para
imagens direitas

$$|M| = \frac{|I|}{|S|} = \frac{|s_i|}{|s_o|}$$

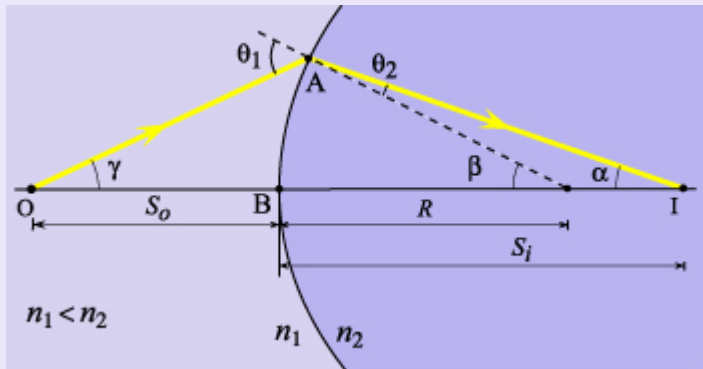
$$M = -\frac{s_i}{s_o}$$



Convenção de sinais

Grandeza	Sinal >0 (+)	Sinal >0 (-)
s_o	Esq. de V. obj. real	Dir. de V, obj. virtual
s_i	Esq. de V, imag. real	Dir. De V, imag. virtual
f	Esq. Côncavo	Esq. Convexo
R	C dir. de V, esp. convex	C dir. de V, esp. cônc.
y_o	Acima eixo obj. dir.	Abaixo eixo obj. Invert.
y_i	Acima eixo imag. dir	Abaixo eixo imag. invert.

O dióptro esférico



vê-se que

$$\theta_2 = \beta - \alpha \quad e \quad \theta_1 = \beta + \gamma$$

e pela lei de Snell

$$n_1 \cdot \text{sen } \theta_1 = n_2 \cdot \text{sen } \theta_2$$

Na aproximação dos pequenos ângulos

$$n_1 \cdot (\beta + \gamma) = n_2 \cdot (\beta - \alpha) \quad \text{e}$$

$$AB = R \cdot \beta = s_o \cdot \gamma = s_i \cdot \alpha$$

donde por substituição

$$n_1 \cdot \left(\frac{AB}{R} + \frac{AB}{s_o} \right) = n_2 \cdot \left(\frac{AB}{R} - \frac{AB}{s_i} \right)$$

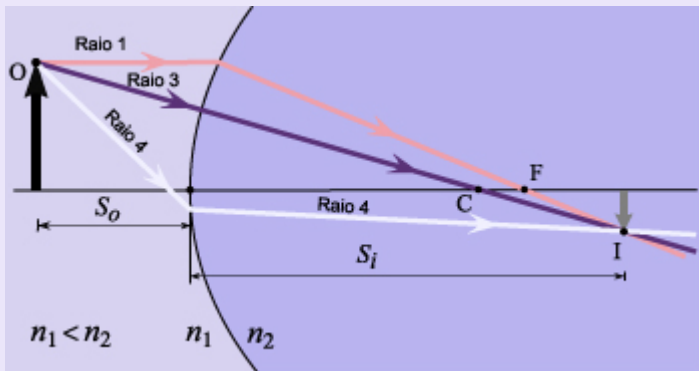
$$\text{e} \quad \frac{n_1}{s_o} + \frac{n_2}{s_i} = \left(\frac{n_2 - n_1}{R} \right)$$

Foco imagem

$$f_i = \lim_{s_o \rightarrow \infty} s_i = \frac{n_2}{n_2 - n_1} \cdot R$$

Foco objecto

$$f_o = \lim_{s_i \rightarrow \infty} s_o = \frac{n_1}{n_2 - n_1} \cdot R$$



Grandeza	Sinal >0 (+)
s_o	Esq. de V=B
s_i	Dir. de V=B
f_o	Esq. de V=B
f_i	Dir. de V=B
R	C dir. de V=B
x_o	
x_i	
y_o	Acima eixo
y_i	Acima eixo

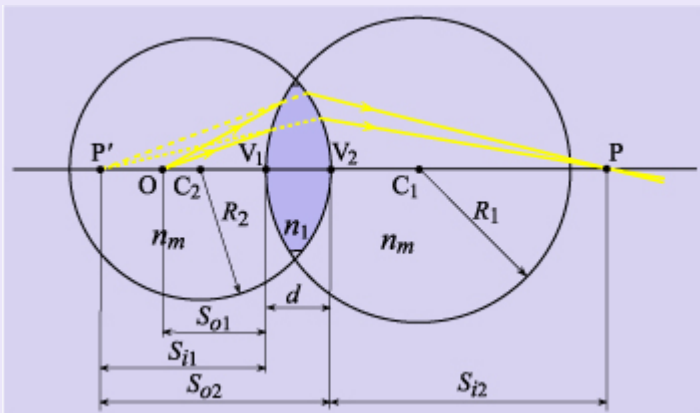
AT5 – Óptica Geométrica

Existe um valor de s_{o1} , a partir do qual s_{i1} , está à esquerda de V_1 em P'

... $s_{i1} < 0$. Para tal tem-se que:

$$-s_{i1} = |s_{i1}|$$

... $s_{o2} > 0$ (esq. de V_2)



donde:

$$s_{o2} = |s_{o2}|$$

Como

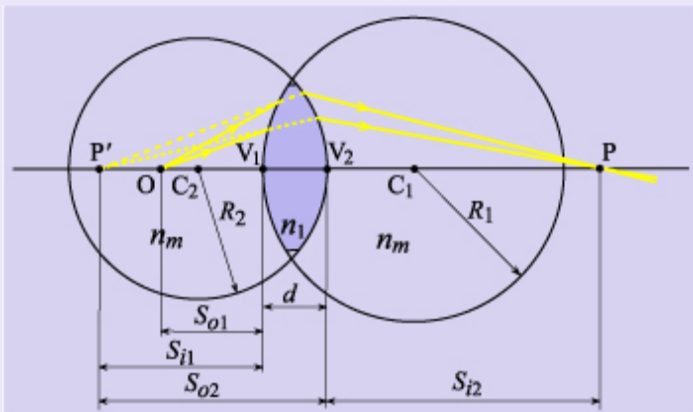
$$|s_{o2}| = |s_{i1}| + d$$

Para lentes finas $d = 0$ e vem:

$$|s_{i1}| = |s_{o2}|$$

e

$$s_{o2} = -s_{i1}$$



$$n_1 = 1 \quad e \quad n_2 = n$$

$$\frac{n}{s_{o2}} + \frac{1}{s_{i2}} = \left(\frac{1-n}{R_2} \right)$$

$$\frac{n_1}{s_o} + \frac{n_2}{s_i} = \left(\frac{n_2 - n_1}{R} \right)$$

$$\frac{1}{s_o} + \frac{n}{s_{i1}} = \left(\frac{n-1}{R_1} \right)$$

substituindo na expressão do segundo dióptro vem,

$$\frac{n}{-s_{i1}} + \frac{1}{s_{i2}} = \frac{1-n}{R_2}$$

adicionando membro a membro as expressões dos dois dióptros e tendo em conta

$$s_{o1} = s_o \quad e \quad s_{i2} = s_i$$

$$\frac{1}{s_o} + \frac{1}{s_i} = (n-1) \cdot \left(\frac{1}{R_1} - \frac{1}{R_2} \right)$$

Os focos objecto e imagem são:

$$f_o = \lim_{s_i \rightarrow \infty} s_o = \left[(n-1) \cdot \left(\frac{1}{R_1} - \frac{1}{R_2} \right) \right]^{-1}$$

$$f_i = \lim_{s_o \rightarrow \infty} s_i = \left[(n-1) \cdot \left(\frac{1}{R_1} - \frac{1}{R_2} \right) \right]^{-1}$$

Donde

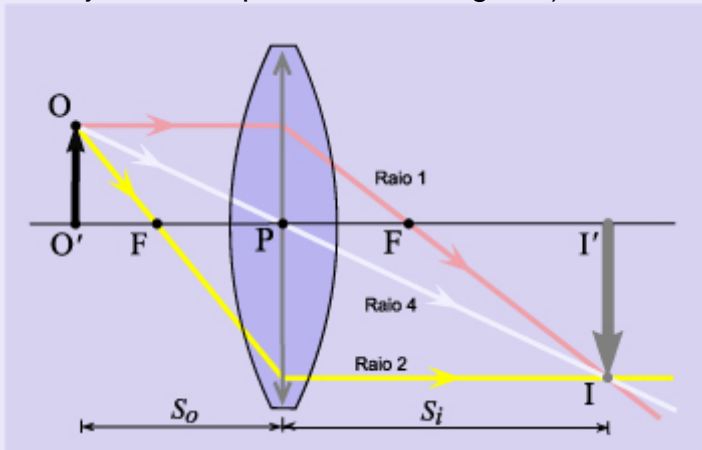
$$f_o = f_i$$

E... que é a **Fórmula de Gauss**

$$\frac{1}{s_i} + \frac{1}{s_o} = \frac{1}{f}$$

Estratégias de formação de imagem por lentes:

Imagem dada por lente biconvexa (real invertida maior que o objecto dada por lente convergente)



Ampliação

$$M = \frac{II'}{SS'}$$

pela semelhança dos triângulos $SS'P$ e $II'P$

$$|M| = \frac{|s_i|}{|s_o|}$$

Convencionando que para imagem direita $M > 0$,

$$M = -\frac{s_i}{s_o}$$

Imagem dada por lente bicôncava:

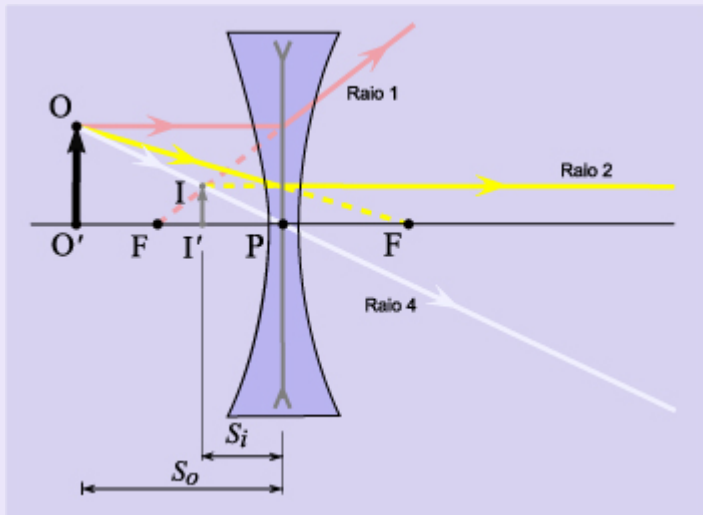
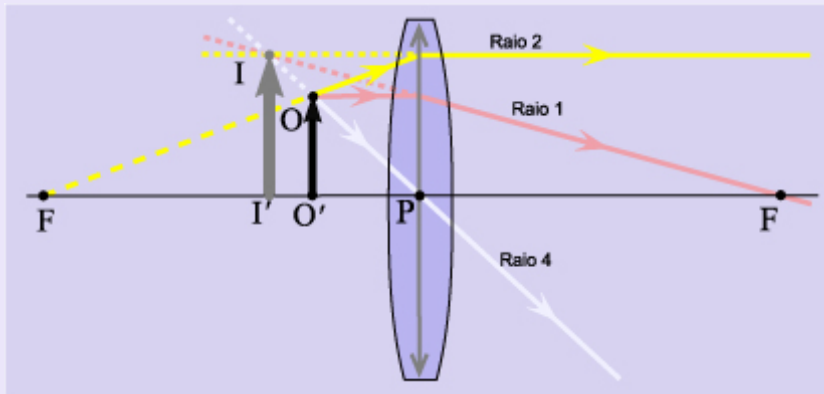


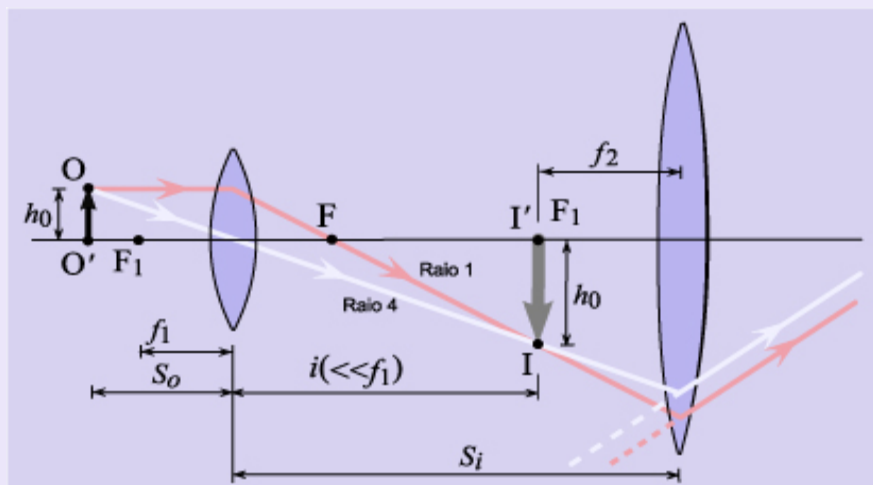
Imagem virtual direita
menor que o objecto
dada por lente divergente

Formação de imagem em Lupa:

Lupa com lente biconvexa



Formação de imagem em Microscópio:

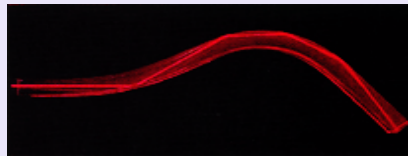
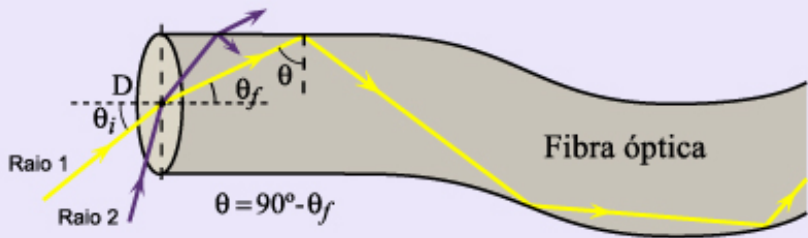


Condução de luz por fibra óptica

A fibra óptica é um dispositivo que aplica o conceito de ângulo crítico ou limite na reflexão interna. Consiste numa fibra cilíndrica em que a radiação entra pela base e se propaga no seu interior

Na face de entrada a lei de Snell-Descartes...

$$n_i \cdot \text{sen} \theta_i = n_f \cdot \text{sen} \theta_f$$



Para que haja reflexão total na face lateral

O ângulo de incidência à face interna da fibra,
($90^\circ - \theta_f$), tem de ser maior que o ângulo crítico...
ou seja ...

$$\text{sen}(90^\circ - \theta_f) > \text{sen}\theta_c = \frac{1}{n_f}$$

$$n_f \cdot \cos\theta_f > 1$$

AT5 – Óptica Geométrica

$$n_f \cdot \cos \theta_f > 1$$

$$n_f \cdot \sqrt{1 - \text{sen}^2 \theta_f} > 1$$

Pela lei de Snell-Descartes

$$n_f \cdot \sqrt{1 - \frac{\text{sen}^2 \theta_i}{n_f^2}} = \sqrt{n_f^2 - \text{sen}^2 \theta_i} > 1$$

o limite de $\text{sen}^2 \theta_i$ é 1, donde:

$$\sqrt{n_f^2 - \text{sen}^2 \theta_i} \rightarrow \sqrt{n_f^2 - 1} > 1$$

$$n_f^2 - 1 > 1 \Rightarrow n_f > \sqrt{2}$$

... se esta condição é obedecida... uma vez entrada na fibra a radiação já não sai

... os materiais usados têm tipicamente um índice de refração de 1,62

Quando as fibras têm bainha, (cladding) com índice de refração, n_c , define-se abertura numérica, AN, como:

$$\text{sen } \theta_{\max} \cdot n_0 = AN = NA = \sqrt{n^2 - n_c^2}$$

se a fibra opera no ar $n_0=1,00028 \cong 1$, a AN dá o seno do ângulo máximo de incidência com transmissão sem atenuação

$$AN = NA = \sqrt{n^2 - n_c^2}$$